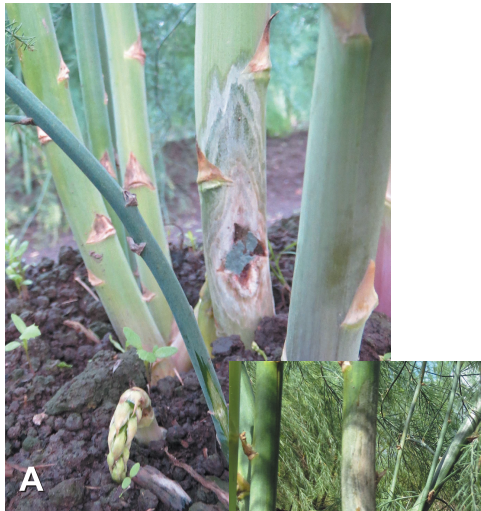
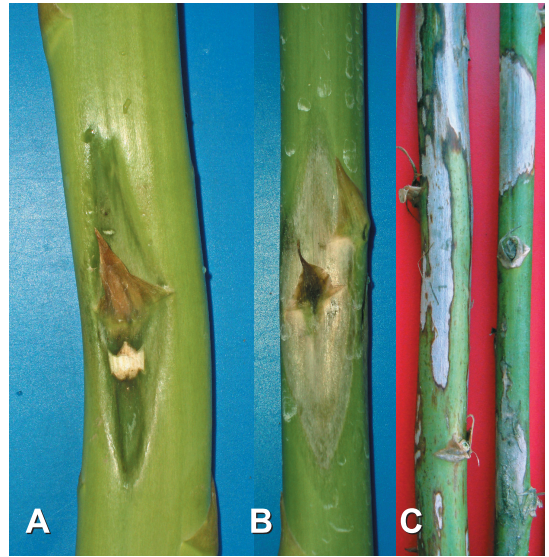


アスパラガス連作障害の新たな発生要因「疫病」

(本文 5 ページ参照)



口絵① アスパラガスの成茎に形成された疫病の病斑
A: 地際部に形成された病斑
B: 地際から 50cm の高さに形成された病斑



口絵② アスパラガス成茎における疫病病斑の変化
A: くさび形の水浸状になる初期病斑
B: 灰白色に変化した病斑
C: 周縁が赤褐色、内側が灰白色になった病斑



口絵③ アスパラガスの定植苗に形成された疫病の病斑
A: 地際部に白色の菌叢を形成
B: 周縁が赤褐色で内側が灰白色の病斑



口絵④ 疫病が多発したアスパラガス圃場における連続した欠株の状況

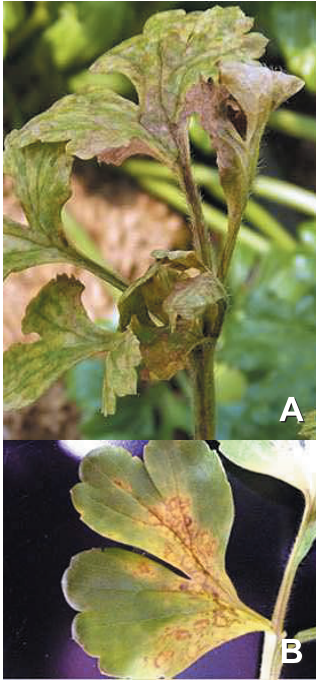
園田高広氏原図

宮崎県のランキュラスにおけるウイルス病の発生実態と診断技術の確立

(本文 29 ページ参照)



口絵① 栽培ランキュラスに認められるウイルス性障害 A: 葉のモザイク、えそ症状, B: 花弁のモザイク症状, C: 株の萎縮



口絵② TSWV が分離されたランキュラス株の症状
 A: 葉および茎の黄化, えそ症状
 B: 葉のえそ輪紋症状



口絵③ 接種により再現された葉のモザイク症状

河野亜希子氏原図

香川県におけるレタスヒゲナガアブラムシの発生状況と各種薬剤の殺虫効果 (本文 34 ページ参照)



口絵① レタス内部の被害 (左上)
 口絵② レタスヒゲナガアブラムシの無翅成虫および幼虫 (右上)
 口絵③ レタスヒゲナガアブラムシの成虫と腹部背面の線状の暗色部 (左下)

藤村俊夫氏原図